



POREĐENJE FUNKCIJA ODGOVORA CR-39 DETEKTORA ZA DETEKCIJU ALFA ZRAČENJA

Jelena M. STAJIĆ¹, Biljana MILENKOVIĆ¹, Nenad STEVANOVIĆ², Vladimir M. MARKOVIĆ²,
Dragoslav NIKEZIĆ^{2,3}

1) Univerzitet u Kragujevcu, Institut za Informacione Tehnologije, Kragujevac, Srbija

2) Univerzitet u Kragujevcu, Prirodno-matematički fakultet, Kragujevac, Srbija

3) Državni univerzitet u Novom Pazaru, Novi Pazar, Srbija

stajicjelena11052012@gmail.com



Sadržaj

U radu je prikazano poređenje V funkcija koje se u literaturi najčešće koriste pri analizi detekcije alfa zračenja pomoću CR-39 detektora. Ranije razvijen program TRACK.VISION2.1, koji omogućava vizuelizaciju tragova u čvrstim trag detektorima, upotrebljen je za procenu kritičnog ugla detekcije alfa čestica. Varirani su uglovi i upadne energije čestica i predviđana je mogućnost njihove detekcije, na osnovu postavljenog kriterijuma vidljivosti. Rezultati su prikazani za pet odabranih V funkcija i diskutovano je njihovo međusobno slaganje. Dati su parametri fitovanja funkcije kritičnog ugla u zavisnosti od upadne energije za nedavno publikovanu V funkciju. Nova funkcija je ugrađena i u program za proračun kalibracionog koeficijenta CR-39 detektora u radonskoj difuzionoj komori. Izdvojene su V funkcije koje daju najbolje i najlošije slaganje rezultata teorijskih proračuna sa eksperimentalnim zapažanjima. Nova funkcija predviđa niže vrednosti kalibracionog koeficijenta u poređenju sa rezultatima dobijenim na osnovu eksperimentalnog ozračivanja CR-39 detektora u radonskoj difuzionoj komori, pri poznatoj koncentraciji radona.

1. Uvod

Čvrsti trag detektori (eng. Solid State Nuclear Track Detectors - SSNTD) nalaze široku primenu u različitim oblastima nauke i tehnologije, a prvenstveno u oblasti monitoringa i zaštite od zračenja. Jedan od najvažnijih parametara u teorijskom modelovanju mehanizma formiranja tragova u čvrstim trag detektorima je V funkcija [1] koja je u literaturi poznata i još kao funkcija osetljivosti ili funkcija odgovora detektora. Ova funkcija predstavlja odnos brzine nagrizanja detektora duž traga (Vt) i brzine nagrizanja neoštećene površine detektora (Vb), a uslov za formiranje vidljivih tragova je da je njena vrednost veća od 1. Brzine Vb i Vt zavise od uslova nagrizanja tj. od temperature, koncentracije i vrste rastvora, a brzina Vt zavisi još i od mase, naelektrisanja i energije čestice koja je napravila oštećenja duž svoje putanje u materijalu detektora.

U radu je prikazano poređenje nekoliko V funkcija koje su dostupne u literaturi, a koje se najčešće koriste pri teorijskoj analizi razvoja tragova alfa čestica u CR-39 detektorima. Odabrano je pet V funkcija koje su primenjene za teorijsku procenu kritičnog ugla detekcije i kalibracionog koeficijenta detektora postavljenog na dnu radonske difuzione komore, a rezultati su upoređeni sa eksperimentalno dobijenim vrednostima.

2. Metod

Funkcije kritičnih uglova detekcije alfa čestica CR-39 detektorima su dobijene korišćenjem programa TRACK_VISION2.1 [2]. Upadni uglovi alfa čestica su varirani sa korakom od 1°, dok su energije varirane u intervalu od 0.5 do 8 MeV, sa korakom od 0.5 MeV. Tragovi čiji su dijametri i dubine veći od 1 μm smatrani su vidljivim. Teorijska procena kalibracionog koeficijenta je izvršena korišćenjem programa CR39_Sensitivity napisanog u Fortran90 programskom jeziku [3]. Programi nude mogućnost odabira jedne od pet V funkcija izraženih preko rezidualnog dometa R' (u μm):

$$V_1 = 1 + (11.45e^{-0.339 \cdot R'} + 4e^{-0.044 \cdot R'}) (1 - e^{-0.58 \cdot R'}) \quad [4]$$

$$V_2 = 1 + e^{-0.1 \cdot R'/1} - e^{-1 \cdot R'/1.27} + e^{1.27} - e^1 \quad [5]$$

$$V_3 = 1 + e^{-0.06082 \cdot R'/1.119} - e^{-0.8055 \cdot R'/1.119} \quad [6]$$

$$V_4 = 1 + e^{-0.098 \cdot R'/1.86 - 37.78/R' + 36.98/R'^{0.98}} \quad [7]$$

$$V_5 = 1 + \frac{390}{(R'+2)^{2.35}} \ln(R'+1) (1 - e^{-R'/5}) + \frac{R'}{80} \quad [8]$$

Eksperimentalno određivanje kalibracionog koeficijenta: konusna radonska difuziona komora sa CR-39 detektorom je izložena radonu srednje koncentracije od oko 3400 Bq m⁻³ (koncentracija je merena urađajem RAD7); detektor je podvrgnut hemijskom nagrizanju u rastvoru NaOH koncentracije 6.25 N, na temperaturi od 70 °C, tokom 5 h.

Literatura

- [1] D. Nikezic, D. Kostic. Simulation of the track growth and determining the track parameters. Radiat. Meas. 28, 1997, 185–190.
- [2] D. Nikezic, J.M. Stajic, K.N. Yu. Updates to TRACK_TEST and TRACK_VISION Computer Programs. Polymers 13, 2021, 560.
- [3] D. Nikezic, K.N. Yu, J.M. Stajic. Computer program for the sensitivity calculation of a CR-39 detector in a diffusion chamber for radon measurements. Rev. Sci. Instrum. 85, 2014, 022102.
- [4] P.G. Green, A.G. Ramli, A.R. Al-Najjar, F. Abu-Jarad, S.A. Durrani. A study of bulk etch rates and track-etch rates in CR-39. Nucl. Instrum. Methods 203, 1982, 551–559.
- [5] C. Brun, M. Fromm, M. Jouffroy, P. Meyer, J.E. Groetz, F. Abel, et al. Intercomparative study of the detection characteristics of the CR-39 SSNTD for light ions: Present status of the Besancon—Dresden approaches. Radiat. Meas. 31, 1999, 89–98.
- [6] K.N. Yu, F.M.F. Ng, D. Nikezic, Measuring depths of sub-micron tracks in a CR-39 detector from replicas using atomic force microscopy. Radiat. Meas. 40, 2005, 380–383.
- [7] M.A. Al-Jubbori. V-function to investigate tracks of the alpha particle irradiated CR-39 detector. Radiat. Meas. 136, 2020, 106388.
- [8] D. Hermsdorf. Evaluation of the sensitivity function V for registration of α-particles in PADC CR-39 solid state nuclear track detector material. Radiat. Meas. 44, 2009, 283–288.
- [9] M. Calamosca, S. Penzo, G. Gualdrini. Experimental determination of CR-39 counting efficiency to α particles to design the holder of a new radon gas dosimeter. Radiat. Meas. 36, 2003, 217–219.

3. Rezultati

Na Slici 1 prikazani su kritični uglovi detekcije θ_c (u odnosu na normalu na površinu detektora) dobijeni primenom prethodno navedenih V funkcija. Funkcija θ_{C4} , dobijena na osnovu nove funkcije V_4 , naglo opada za energije iznad 4 MeV pa već čestice sa energijama iznad 6 MeV ne zadovoljavaju postavljeni kriterijum vidljivosti čak ni pri ortogonalnom upadu na površinu detektora.

Slika 1. Kritični uglovi detekcije dobijeni korišćenjem TRACK_VISION2.1 softvera i odgovarajućih V-funkcija (V_i , $i = 1, 2, \dots, 5$); puna linija predstavlja funkciju koju su eksperimentalno dobili Calamosca i saradnici [9].

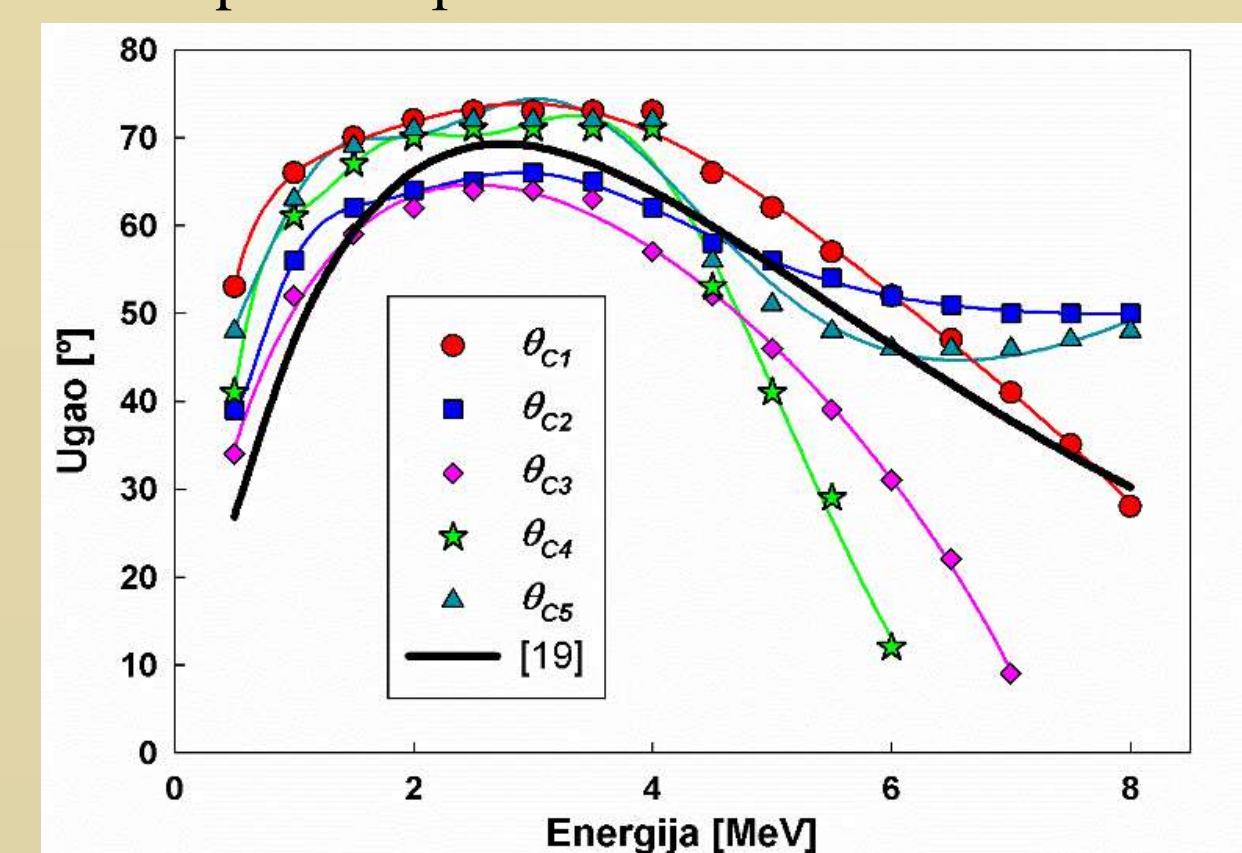


Tabela 1. Parametri fitovanja za funkciju θ_{C4} .

	1	2	3	4	5
a	1088.744	-0.1662	1268.9729	6.6735	-0.5975
b	9.1507	3.5065	2.6523	7.5144	-86.9132
c	4.8754	0.3041	3.1961	2.0088	317.998

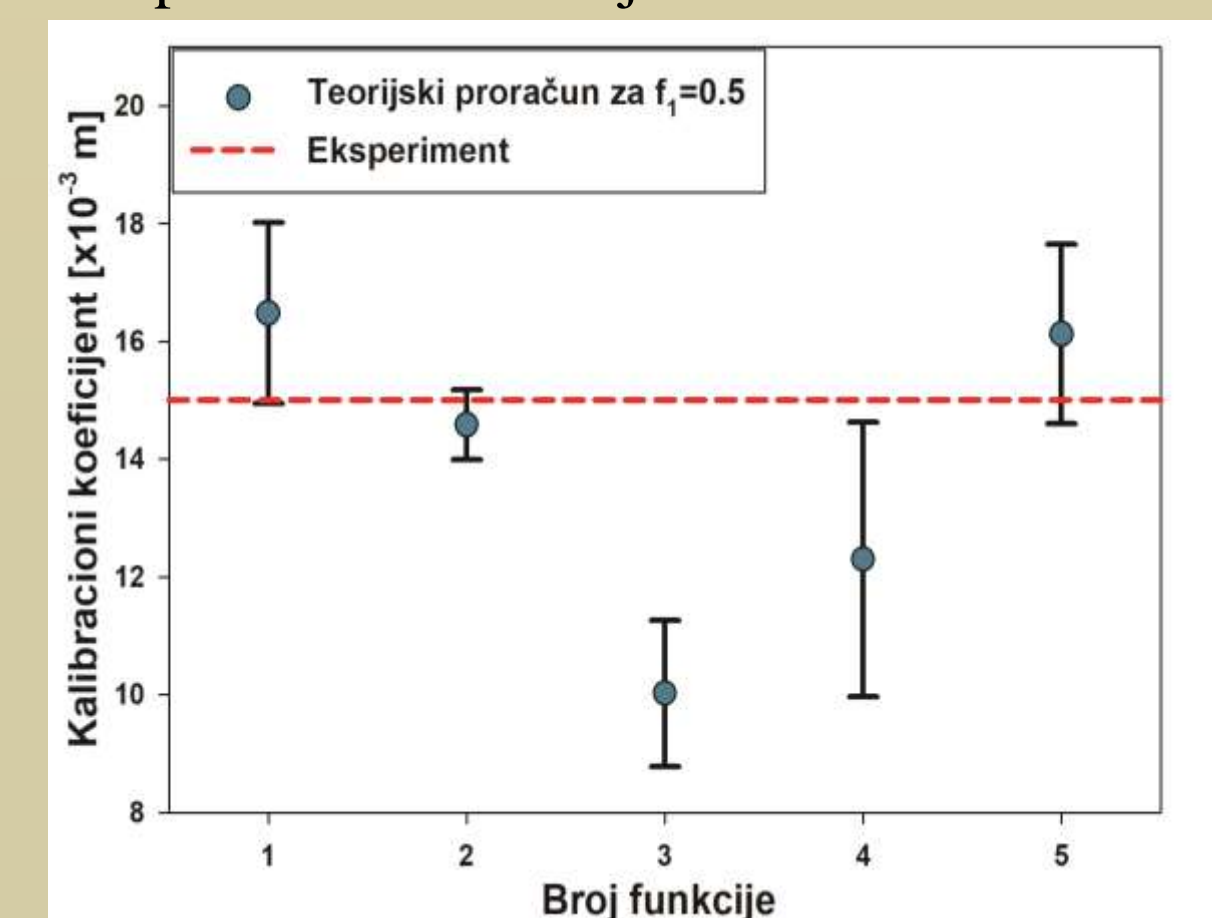
Funkcija θ_{C4} :

$$\theta_{C4}(E) = \sum_{i=1}^5 a_i \cdot E^{b_i} \cdot e^{-c_i E}$$

Parametri fitovanja su dati u Tabeli 1.

Na Slici 2 su predstavljeni kalibracioni koeficijenti dobijeni pomoću programa CR39_Sensitivity korišćenjem pet V funkcija. Za svaku V funkciju je prikazan opseg u zavisnosti od zapreminske frakcije kratkoživećeg radonovog potomka ²¹⁸Po (f_1). Istraživanja su pokazala da je $f_1 < 0.5$, pa se može zaključiti da funkcije V_1 i V_5 daju najbolje slaganje teorije i eksperimenta. Nova funkcija V_4 daje rezultate koji su znatno niži od eksperimentalno dobijene vrednosti.

Slika 3. Kalibracioni koeficijent CR-39 detektora dobijen teorijski za različite oblike V funkcija (kružni simboli: $f_1=0.5$; donje granice opsega: $f_1=0$; gornje granice opsega: $f_1=1$) i eksperimentalno dobijena vrednost (isprekidana crvena linija).



4. Zaključak

Na osnovu poređenja teorijskog i eksperimentalnog proračuna, funkcije V_1 i V_5 i dalje daju najbolje rezultate. Nova funkcija V_4 teorijski predviđa vrednosti koje su niže od eksperimentalnih.

ZAHVALNICA: Ovaj rad je podržan od strane Ministarstva prosvete, nauke i tehnološkog razvoja (ugovori: 451-03-9/2021-14/200378 i 451-03-9/2021-14/200122).